

Desenvolvendo AEs

Conceitos e Aplicações

A decorative graphic element consisting of several horizontal lines of varying lengths and colors (teal, light blue, and white) extending from the right side of the slide.

Sumário

- Principais aspectos
- Representação e Operadores Clássicos.
- Fitness
- Outras Representações, Operadores e Fitness
- Seleção
- Outros Operadores

Principais aspectos

1. Definir a representação da solução
 - a. Codificação
 - b. Decodificação
2. Definindo a função de fitness
 - a. Factibilidade vs Infactibilidade
 - b. Mono objetivo vs Multi-objetivo

Aspectos principais

3. Operadores
 - a. Inicialização
 - b. Seleção para Reprodução
 - c. Crossover
 - d. Mutação
 - e. Seleção para Sobrevivência.
 - f. Migração, genocídio, etc.
4. Critério de parada.
5. Avaliando o AE implementado
 - a. Avaliando o fitness médio
 - b. Determinando o melhor indivíduo
 - c. Ajustando os parâmetros (Tunning) do AE

Representação e Operadores Clássicos

- Representação
 - Definir qual será a representação do indivíduo é uma das primeiras decisões que se deve tomar no desenvolvimento de um AG.
 - Codificação e Decodificação
 - Codificação direta
 - Codificação indireta \Rightarrow Decodificação

Representação e Operadores Clássicos

- Representação Binária

0	1	1	0	1	1	0	1
---	---	---	---	---	---	---	---

 Representação Binária (8bits)

0	1	1	0	1	1	0	1	0	1	1	0	1	1	0	1
---	---	---	---	---	---	---	---	---	---	---	---	---	---	---	---

 Representação Binária (16 bits)

0	1	1	0	1	1	0	1	0	1	1	0	1	1	0	1	0	1	1	0	1	0	1	1	0	1	1	0	1
---	---	---	---	---	---	---	---	---	---	---	---	---	---	---	---	---	---	---	---	---	---	---	---	---	---	---	---	---

Representação Binária (32 bits)

Representação e Operadores Clássicos

- Representação Binária

cromossomo com 2 variáveis

1	0	0	1	1	0	0	1	X_1
0	0	1	1	1	0	1	0	X_2

cromossomo com 3 variáveis

1	0	0	1	1	0	0	1	X_1
0	0	1	1	1	0	1	0	X_2
1	1	0	0	0	1	0	1	X_3

Representação e Operadores Clássicos

● Representação Binária

- Duas importantes questões na representação de números reais em binários são:
 - Intervalo de domínio de cada uma das variáveis
 - Precisão desejada

Representação e Operadores Clássicos

- Representação Binária

Exemplo - Decodificação

$$f(x) = x \operatorname{sen}(10\pi x) + 1 \quad -1 \leq x \leq 2.$$

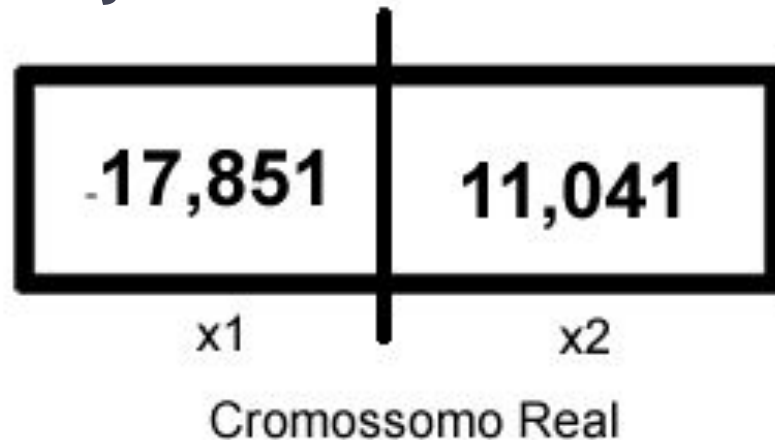
$$s_1 = 1000101110110101000111$$

$$b_{10} = (1000101110110101000111)_2 = 2288967$$

$$x = \min + (\max - \min) \frac{b_{10}}{2^l - 1} \quad x_1 = -1 + (2 + 1) \frac{2.288.967}{(2^{22} - 1)} = 0,637197$$

Representação e Operadores Clássicos

- Representação Real



Representação e Operadores Clássicos

Representação Binária x Real

- Binária

- ↑ Tradicional e fácil de utilizar
- ↓ Cromossomos longos para representar parâmetros contínuos com boa precisão.
- ↓ Longas cadeias podem levar a uma convergência lenta do método.
- ↓ Não uniformidade dos operadores. Por exemplo, mutação nos primeiros bits tem mais impacto que nos últimos.

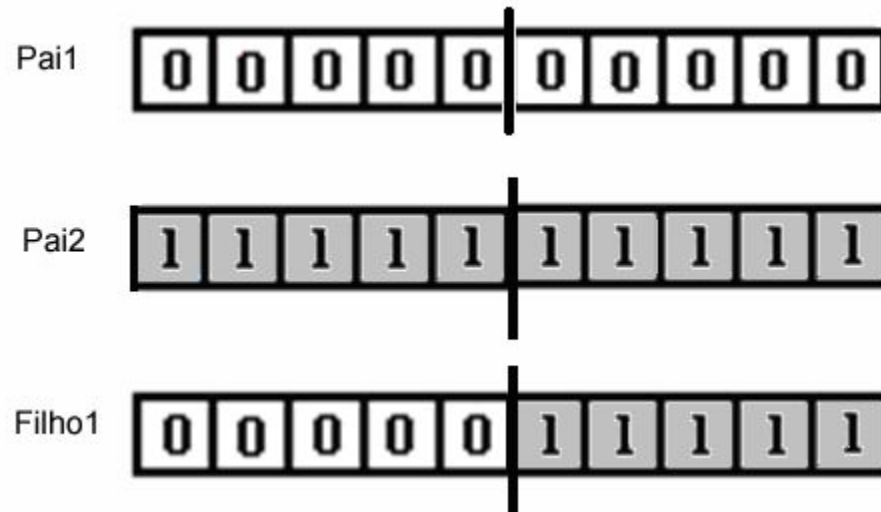
- Real

- ↑ Cadeias menores
- ↑ Compreendida mais naturalmente.
- ↑ Facilidade para criar novos operadores.

Operadores Clásicos

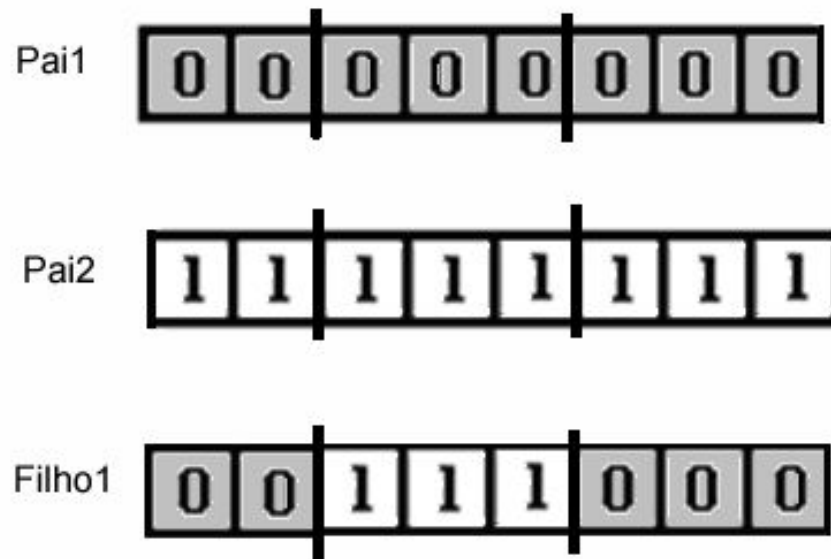
Crossover de um ponto

Representação Binária



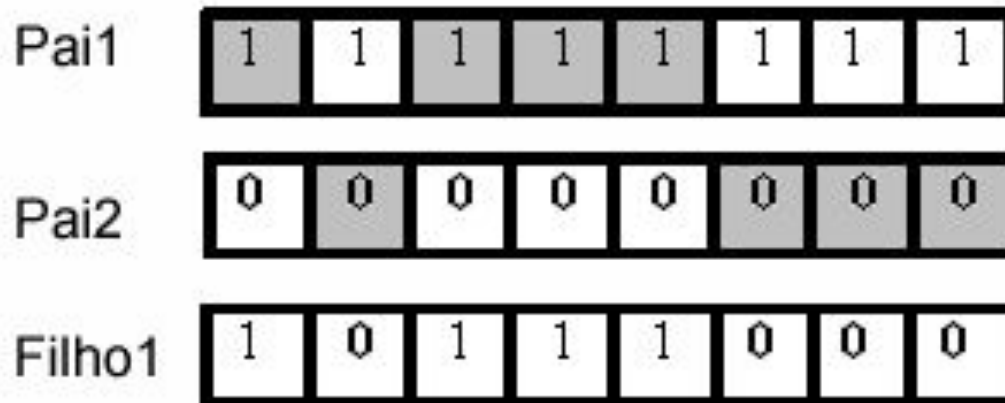
Crossover de dois pontos

Representação Binária



Crossover uniforme

Representação Binária



Números sorteados (0, 1, 0, 0, 0, 1, 1, 1)

Mutação

Representação Binária

Mutação

Antes:

0	0	1	0	0	0	1
---	---	---	---	---	---	---

Depois:

1	0	1	0	0	1	1
---	---	---	---	---	---	---

Crossovers

Representação Real

Pais

$$\mathbf{p}_1 = (p_{11}, p_{12}, \dots, p_{1l})$$

$$\mathbf{p}_2 = (p_{21}, p_{22}, \dots, p_{2l})$$



Filho

$$\mathbf{c} = (c_1, c_2, \dots, c_l).$$

Crossover média (Davis, 1991)

$$\mathbf{c} = (\mathbf{p}_1 + \mathbf{p}_2) / 2$$

Crossover média geométrica,

$$c_i = \sqrt{p_{1i} p_{2i}}$$

Crossovers - Representação Real

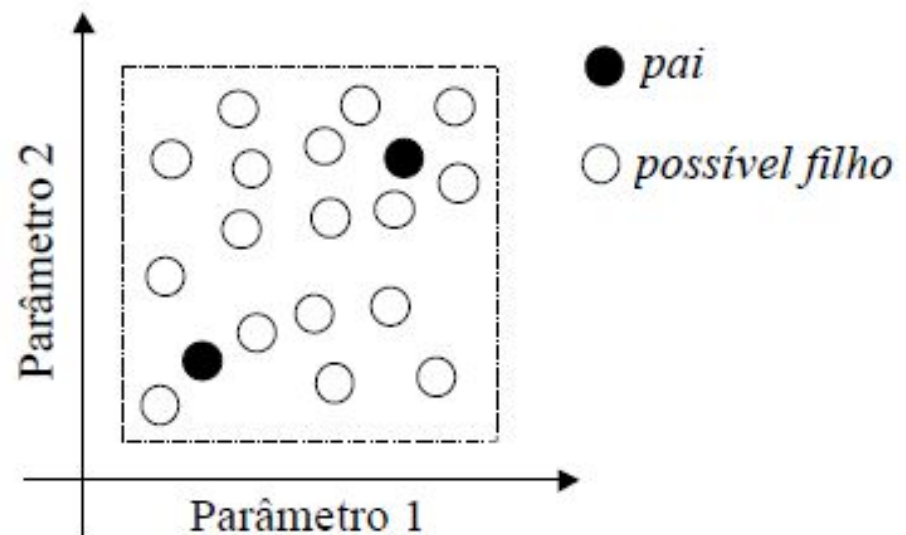
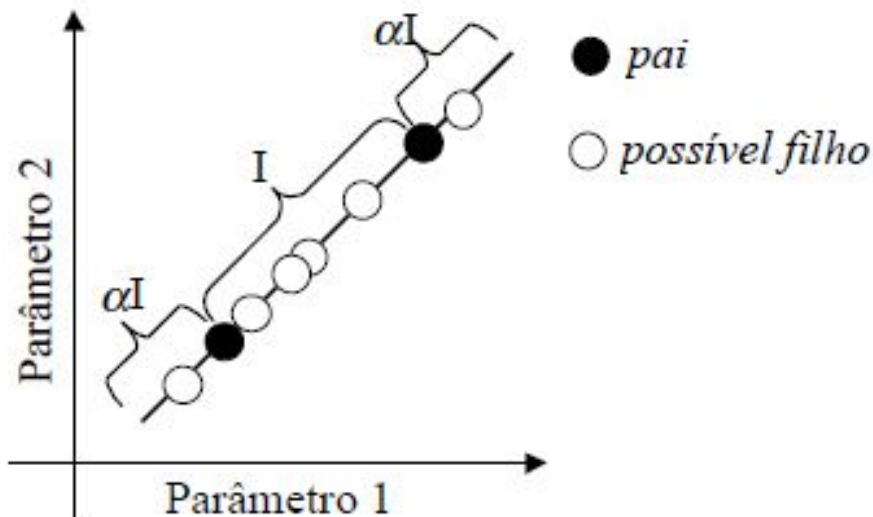
Crossover *BLX- α*

(Eshelman e Shaffer, 1993)

$$c = p_1 + \beta(p_2 - p_1) \quad \beta \in U(-\alpha, 1 + \alpha).$$

$$p_1 = (30,173; 85,342) \quad c_1 = 30,173 + 1,262(75,989 - 30,173) = 87,993$$

$$p_2 = (75,989; 10,162) \quad c_2 = 85,342 + 1,262(10,162 - 85,342) = -9,535$$



Crossovers - Representação Real

$$c_1 = 0,5p_1 + 0,5p_2$$

Crossover linear (Wright, 1991):

$$c_2 = 1,5p_1 - 0,5p_2$$

$$c_3 = -0,5p_1 + 1,5p_2$$

Crossover aritmético (Michalewicz, 1994)

$$c_1 = \beta p_1 + (1 - \beta)p_2$$

$$\beta \in U(0,1)$$

$$c_2 = (1 - \beta)p_1 + \beta p_2$$

Crossover heurístico (Michalewicz, 1994)

$$c = p_1 + r(p_1 - p_2), \text{ onde } f(p_1) > f(p_2)$$

$$r \in U(0,1)$$

Mutação

Representação Real

Mutação uniforme: $c_i = \begin{cases} U(a_i, b_i), & \text{se } i = j \\ p_i & \text{caso contrário} \end{cases}$

Mutação gaussiana: $c_i = \begin{cases} N(p_i, \sigma), & \text{se } i = j \\ p_i & \text{caso contrário} \end{cases}$

Mutação *creep*:

Mutação

Representação Real

Mutação limite (Michalewicz, 1994) $c_i = \begin{cases} a_i & \text{se } r < 0,5 \text{ e } i = j \\ b_i & \text{se } r \geq 0,5 \text{ e } i = j \\ p_i & \text{caso contrário} \end{cases} \quad r \in U(0,1)$

Mutação não-uniforme (Michalewicz, 1994):

$$c_i = \begin{cases} p_i + (b_i - p_i)f(G) & \text{se } r_1 < 0,5 \text{ e } i = j \\ p_i - (p_i - a_i)f(G) & \text{se } r_1 \geq 0,5 \text{ e } i = j \\ p_i & \text{caso contrário} \end{cases}$$

$$f(G) = \left(r_2 \left(1 - \frac{G}{G_{\max}} \right) \right)^b$$

$$r_1 \text{ e } r_2 \in U(0,1)$$

$$b = 6$$

Fitness

- Medida de performance também conhecida como função objetivo (*objective function*), função de qualidade (*quality function*) ou função de avaliação (*evaluation function*).
- Utilizada como base para seleção (reprodução ou sobrevivência).

Fitness

- Geralmente, busca-se maximizar o valor do *fitness*, porém pode ser implementada de forma trivial como um valor a ser minimizado:
 - $1/\text{fitness}$
 - $-\text{fitness}$
 - $N\text{-fitness}$

Fitness

- A determinação de uma função de *fitness* é uma tarefa difícil e muito importante.
- As restrições relacionadas ao problema podem ser incorporadas na função de fitness via **penalização**.
 - Penaliza-se as restrições violadas.

Fitness

- Porém, as restrições podem ser tratadas em AEs de outras formas:
 - Explicitamente com operadores de seleção que descartam codificações (indivíduos) inactivéis.
 - Explicitamente com operadores de reparos que atuam sobre codificações (indivíduos) inactivéis.
 - Implicitamente com codificações que permitem apenas a representação de soluções factíveis.

Outras Representações e seus Operadores

Outras Representações e seus Operadores

International Journal of Production Research
Vol. 47, No. 11, 1 June 2009, 3097–3119



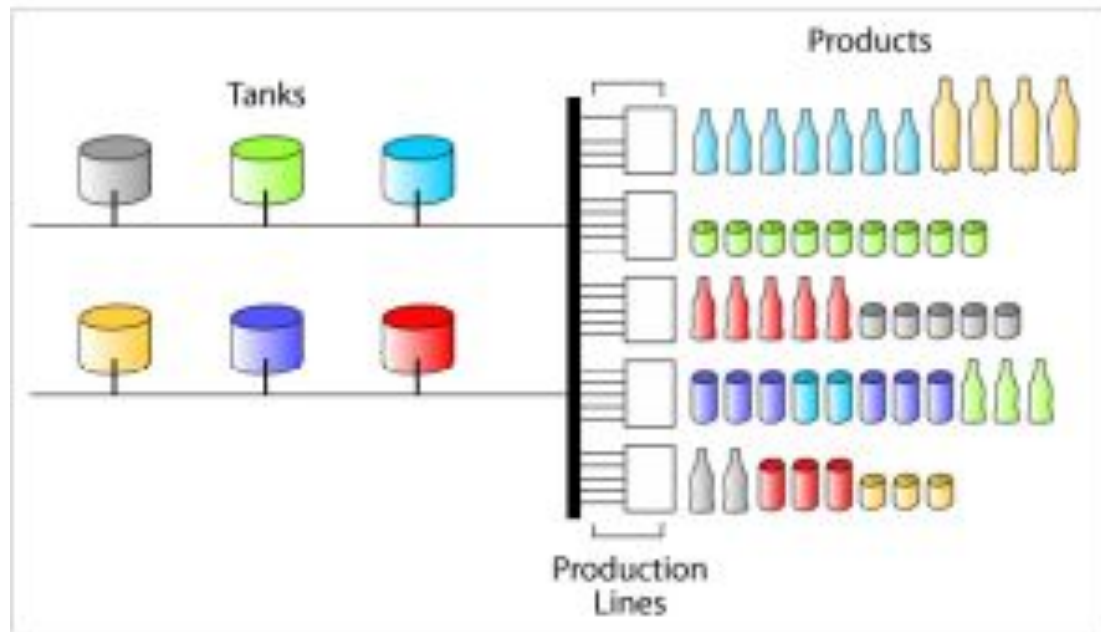
Multi-population genetic algorithm to solve the synchronized and integrated two-level lot sizing and scheduling problem

C.F.M. Toledo^a, P.M. França^b, R. Morabito^c and A. Kimms^{d*}

^a*Departamento de Ciência da Computação, Universidade Federal de Lavras, C.P. 3037, 37200-000, Lavras, MG, Brazil;* ^b*Departamento de Matemática, Estatística e Computação, Universidade Estadual Paulista, Faculdade de Ciências e Tecnologia, Rua Roberto Simonsen, 305 19060-900, Presidente Prudente, SP, Brazil;* ^c*Departamento de Engenharia de Produção, Universidade Federal de São Carlos, C.P. 676, 13565-905, São Carlos, SP, Brazil;* ^d*Department of Technology and Operations Management, University of Duisburg-Essen, 47048 Duisburg, Germany*

Outras Representações e seus Operadores

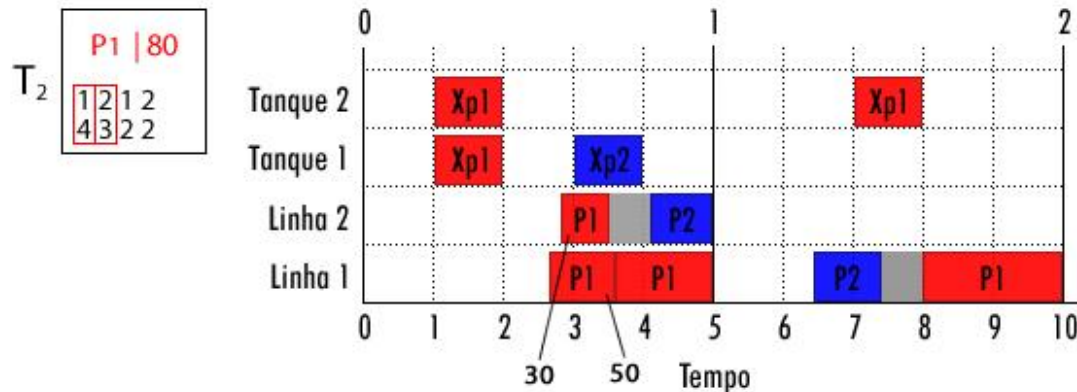
Problema Industrial



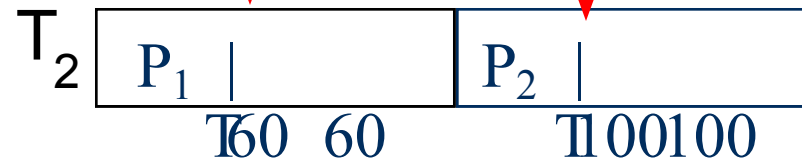
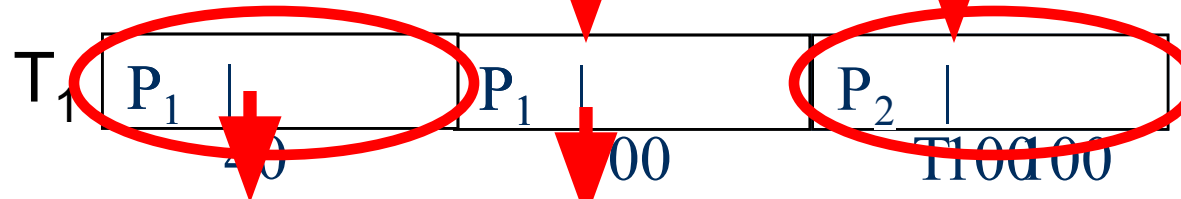
Codificação e Decodificação

Indivíduo 1

T_1	$P_1 70$	$P_2 110$	$P_1 80$
	1 2 2 1 2 2 3 2	2 2 2 2 3 3 4 2	1 2 1 2 4 3 2 2
T_2	$P_1 100$	$P_2 120$	
	1 1 2 2 4 2 1 3	1 1 1 2 1 3 3 2	

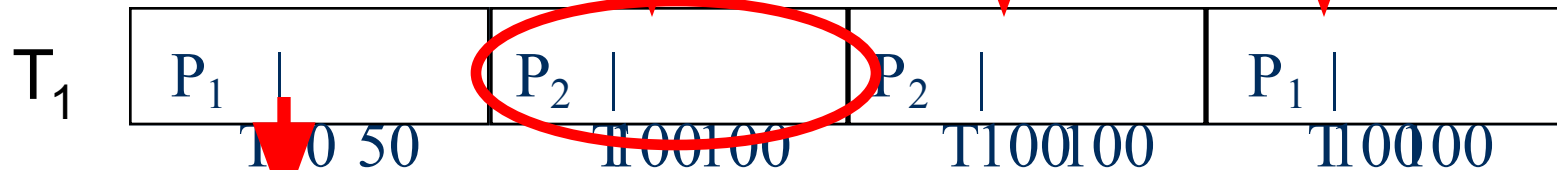


Ind1

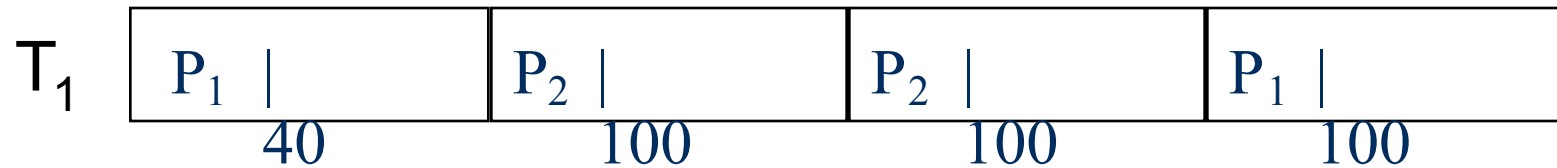


Recombinação

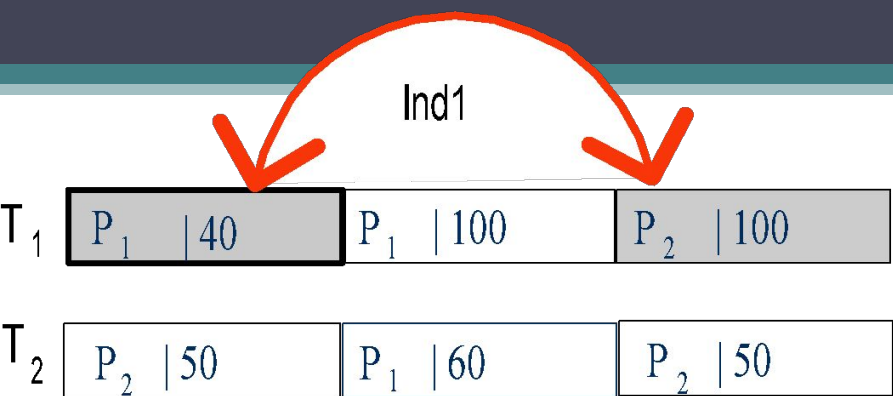
Ind2



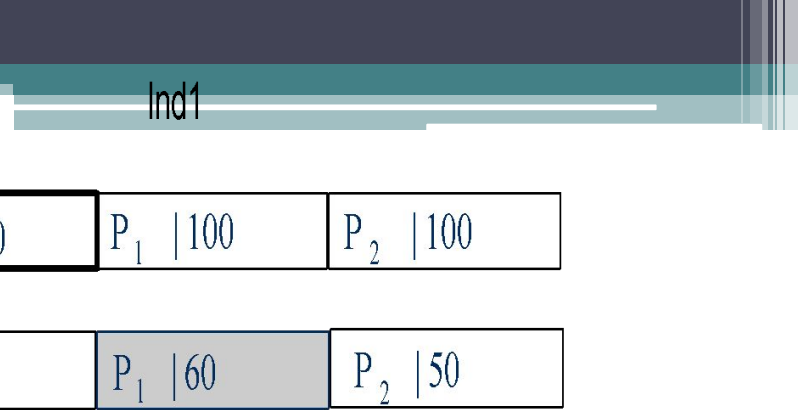
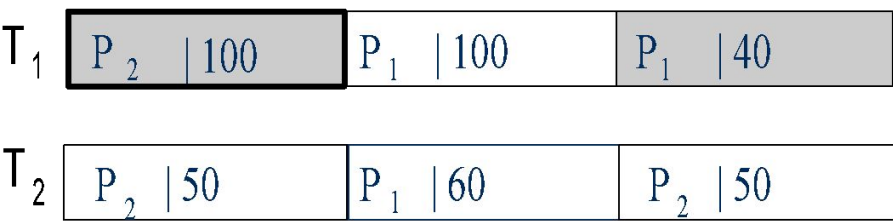
Filho1



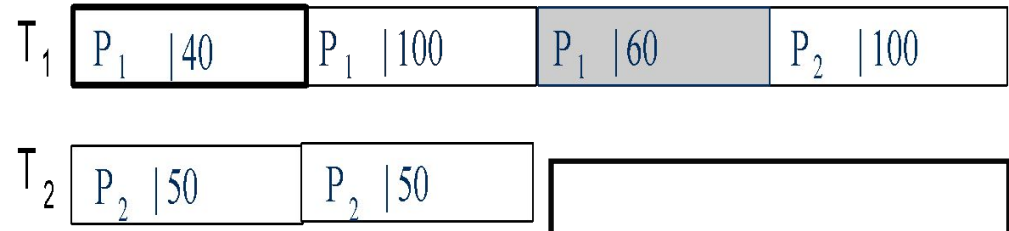
60



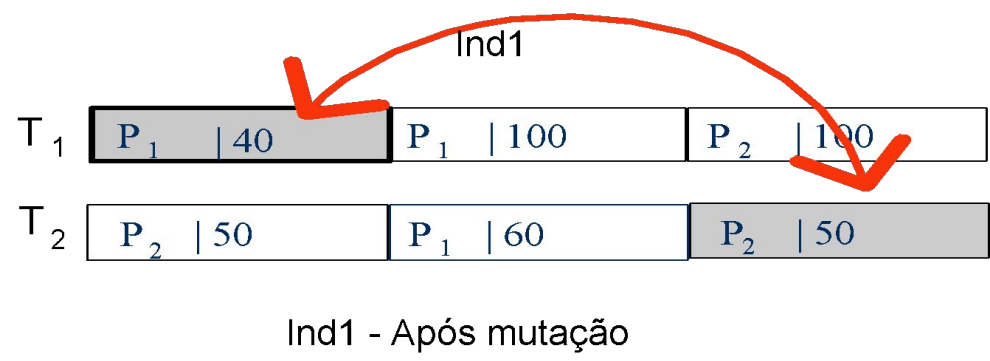
Ind1 - Após mutação



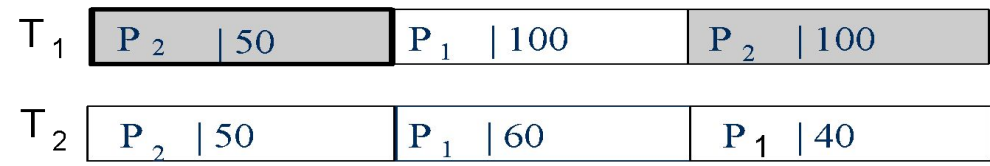
Ind1 - Após mutação



Mutação



Ind1 - Após mutação



Fitness - Função Objetivo

$$\sum_{i=1}^J \sum_{j=1}^J \sum_{l=1}^L \sum_{s=1}^S s_{ijl} z_{ijl} + \sum_{j=1}^J \sum_{t=1}^T h_j I_{jt} + \sum_{j=1}^J \sum_{l=1}^L \sum_{s=1}^{T \cdot S} v_{jl} q_{jls} +$$

$$\sum_{i=1}^{\bar{J}} \sum_{j=1}^{\bar{J}} \sum_{k=1}^{\bar{L}} \sum_{s=1}^{\bar{S}^{(1)}} \bar{s}_{ijl} \bar{z}_{ijl} + \sum_{j=1}^{\bar{J}} \sum_{k=1}^{\bar{L}} \sum_{t=1}^{\bar{T}} \bar{h}_j \bar{I}_{jk,t.T^m} + \sum_{j=1}^{\bar{J}} \sum_{k=1}^{\bar{L}} \sum_{s=1}^{T \cdot \bar{S}} \bar{v}_{jl} \bar{q}_{jks} +$$

$$M \sum_{j=1}^J q_j^0 \quad (1)$$

- Variáveis
- $q_{jls} \geq 0$: quantidade do produto j produzida em l no lote s .
- $q_{jks} \geq 0$: quantidade do xarope j armazenada no tanque k e lote s .
- q_j^0 : demanda não atendida do produto j .

Outras Representações e seus Operadores

Computers & Operations Research 40 (2013) 910–919



Contents lists available at [SciVerse ScienceDirect](#)

Computers & Operations Research

journal homepage: www.elsevier.com/locate/caor



A hybrid multi-population genetic algorithm applied to solve the multi-level capacitated lot sizing problem with backlogging



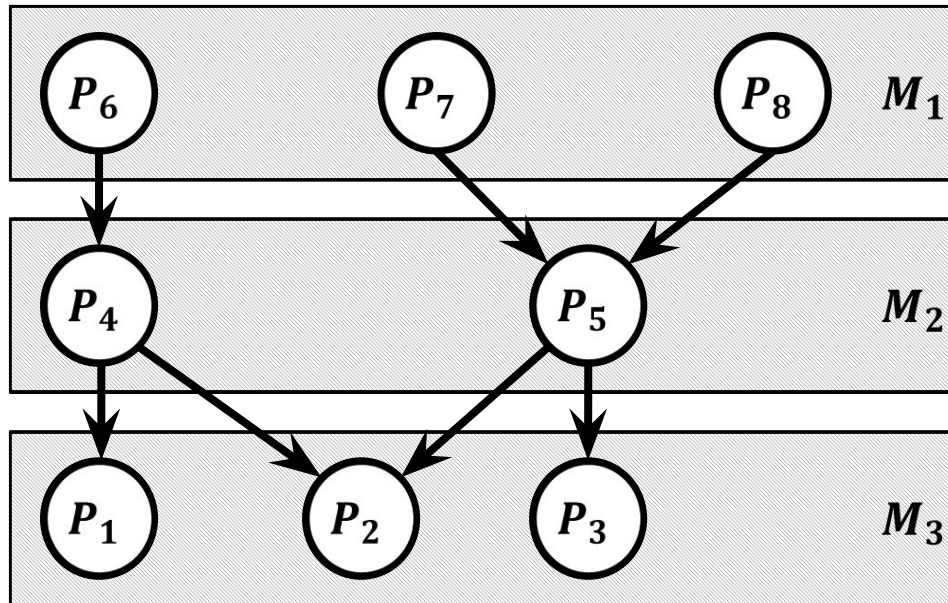
Claudio Fabiano Motta Toledo ^{a,*}, Renato Resende Ribeiro de Oliveira ^b, Paulo Morelato França ^c

^a University of São Paulo, Institute of Mathematics and Computer Science, Brazil

^b Federal University of Lavras, Department of Computer Science, Brazil

^c UNESP - Department of Mathematics and Computing, Brazil

The Multi-Level Capacitated Lot Sizing Problem (MLCLSP)



Formulação Matemática

Fitness - Função Objetivo ►

$$\min \sum_{j=1}^J \sum_{t=1}^T (b_{c_j} b_{jt} + h_j i_{jt}) \quad (1)$$

$$i_{j(t-1)} + b_{jt} + x_{jt} = i_{jt} + b_{j(t-1)} + D_{jt} \quad \forall j, t \mid j \in \Delta \quad (2)$$

$$i_{j(t-1)} + x_{jt} = i_{jt} + \sum_{k \in \delta_j} r_{jk} x_{kt} \quad \forall j, t \mid j \in \Delta \quad (3)$$

$$x_{jt} \leq y_{jt} B_{jt} \quad \forall j, t \quad (4)$$

$$y_{jt} \leq w_{ft} \quad \forall j, t, f \mid p_{jf} = 1 \quad (5)$$

$$\sum_{j=1}^J a_{mj} x_{jt} + \sum_{f=1}^F st_{mf} w_{ft} \leq C_{mt} \quad \forall m, t \quad (6)$$

$$x_{jt}, i_{jt}, b_{jt} \geq 0 \quad y_{jt}, w_{ft} \in \{0, 1\} \quad (7)$$

Formulação Matemática

Fitness - Função Objetivo ►
$$\min \sum_{j=1}^J \sum_{t=1}^T (b_{c_j} b_{jt} + h_j i_{jt}) \quad (1)$$

External demand ►
$$i_{j(t-1)} + b_{jt} + x_{jt} = i_{jt} + b_{j(t-1)} + D_{jt} \quad \forall j, t \mid j \in \Delta \quad (2)$$

$$i_{j(t-1)} + x_{jt} = i_{jt} + \sum_{k \in \delta_j} r_{jk} x_{kt} \quad \forall j, t \mid j \in \Delta \quad (3)$$

$$x_{jt} \leq y_{jt} B_{jt} \quad \forall j, t \quad (4)$$

$$y_{jt} \leq w_{ft} \quad \forall j, t, f \mid p_{jf} = 1 \quad (5)$$

$$\sum_{j=1}^J a_{mj} x_{jt} + \sum_{f=1}^F st_{mf} w_{ft} \leq C_{mt} \quad \forall m, t \quad (6)$$

$$x_{jt}, i_{jt}, b_{jt} \geq 0 \quad y_{jt}, w_{ft} \in \{0, 1\} \quad (7)$$

Formulação Matemática

Fitness - Função Objetivo ►
$$\min \sum_{j=1}^J \sum_{t=1}^T (b_{cj} b_{jt} + h_j i_{jt}) \quad (1)$$

External demand ►
$$i_{j(t-1)} + b_{jt} + x_{jt} = i_{jt} + b_{j(t-1)} + D_{jt} \quad \forall j, t \mid j \in \Delta \quad (2)$$

Internal demand ►
$$i_{j(t-1)} + x_{jt} = i_{jt} + \sum_{k \in \delta_j} r_{jk} x_{kt} \quad \forall j, t \mid j \in \Delta \quad (3)$$

$$x_{jt} \leq y_{jt} B_{jt} \quad \forall j, t \quad (4)$$

$$y_{jt} \leq w_{ft} \quad \forall j, t, f \mid p_{jf} = 1 \quad (5)$$

$$\sum_{j=1}^J a_{mj} x_{jt} + \sum_{f=1}^F st_{mf} w_{ft} \leq C_{mt} \quad \forall m, t \quad (6)$$

$$x_{jt}, i_{jt}, b_{jt} \geq 0 \quad y_{jt}, w_{ft} \in \{0, 1\} \quad (7)$$

Formulação Matemática

Fitness - Função Objetivo ►
$$\min \sum_{j=1}^J \sum_{t=1}^T (b_{c_j} b_{jt} + h_j i_{jt}) \quad (1)$$

External demand ►
$$i_{j(t-1)} + b_{jt} + x_{jt} = i_{jt} + b_{j(t-1)} + D_{jt} \quad \forall j, t \mid j \in \Delta \quad (2)$$

Internal demand ►
$$i_{j(t-1)} + x_{jt} = i_{jt} + \sum_{k \in \delta_j} r_{jk} x_{kt} \quad \forall j, t \mid j \in \Delta \quad (3)$$

Production allowance ►
$$x_{jt} \leq y_{jt} B_{jt} \quad \forall j, t \quad (4)$$

$$y_{jt} \leq w_{ft} \quad \forall j, t, f \mid p_{jf} = 1 \quad (5)$$

$$\sum_{j=1}^J a_{mj} x_{jt} + \sum_{f=1}^F st_{mf} w_{ft} \leq C_{mt} \quad \forall m, t \quad (6)$$

$$x_{jt}, i_{jt}, b_{jt} \geq 0 \quad y_{jt}, w_{ft} \in \{0, 1\} \quad (7)$$

Formulação Matemática

Fitness - Função Objetivo ▶
$$\min \sum_{j=1}^J \sum_{t=1}^T (bc_j b_{jt} + h_j i_{jt}) \quad (1)$$

External demand ▶
$$i_{j(t-1)} + b_{jt} + x_{jt} = i_{jt} + b_{j(t-1)} + D_{jt} \quad \forall j, t \mid j \in \Delta \quad (2)$$

Internal demand ▶
$$i_{j(t-1)} + x_{jt} = i_{jt} + \sum_{k \in \delta_j} r_{jk} x_{kt} \quad \forall j, t \mid j \in \Delta \quad (3)$$

Production allowance ▶
$$x_{jt} \leq y_{jt} B_{jt} \quad \forall j, t \quad (4)$$

$$y_{jt} \leq w_{ft} \quad \forall j, t, f \mid p_{jf} = 1 \quad (5)$$

Capacity limit ▶
$$\sum_{j=1}^J a_{mj} x_{jt} + \sum_{f=1}^F st_{mf} w_{ft} \leq C_{mt} \quad \forall m, t \quad (6)$$

$$x_{jt}, i_{jt}, b_{jt} \geq 0 \quad y_{jt}, w_{ft} \in \{0, 1\} \quad (7)$$

Formulação Matemática

Fitness - Função Objetivo ▶
$$\min \sum_{j=1}^J \sum_{t=1}^T (b_{c_j} b_{jt} + h_j i_{jt}) \quad (1)$$

External demand ▶
$$i_{j(t-1)} + b_{jt} + x_{jt} = i_{jt} + b_{j(t-1)} + D_{jt} \quad \forall j, t \mid j \in \Delta \quad (2)$$

Internal demand ▶
$$i_{j(t-1)} + x_{jt} = i_{jt} + \sum_{k \in \delta_j} r_{jk} x_{kt} \quad \forall j, t \mid j \in \Delta \quad (3)$$

Production allowance ▶
$$x_{jt} \leq y_{jt} B_{jt} \quad \forall j, t \quad (4)$$

$$y_{jt} \leq w_{ft} \quad \forall j, t, f \mid p_{jf} = 1 \quad (5)$$

Capacity limit ▶
$$\sum_{j=1}^J a_{mj} x_{jt} + \sum_{f=1}^F st_{mf} w_{ft} \leq C_{mt} \quad \forall m, t \quad (6)$$

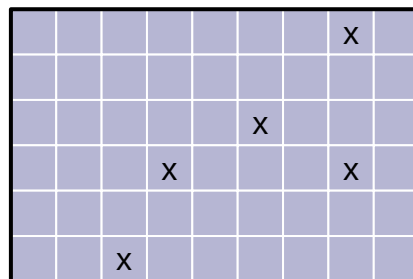
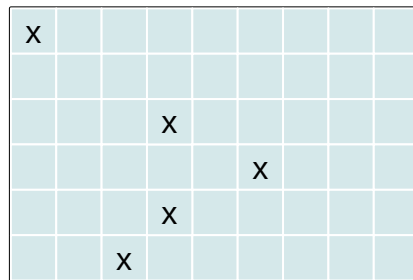
Variable domains ▶
$$x_{jt}, i_{jt}, b_{jt} \geq 0 \quad y_{jt}, w_{ft} \in \{0, 1\} \quad (7)$$

Representação

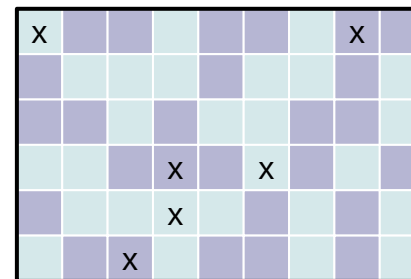
- Matriz Binária F x T

	T ₁	T ₂	T ₃	T ₄	T ₅	T ₆	T ₇	T ₈	T ₉
F ₁	[1]	0	1	0	0	1	0	1	0
F ₂	1	0	1	0	1	0	1	0	0
F ₃	1	1	0	[0]	0	0	0	0	1
F ₄	1	0	0	1	0	[0]	1	0	0
F ₅	1	0	0	[1]	1	1	0	0	1
F ₆	1	0	[0]	1	0	0	0	0	1

Crossover

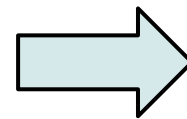
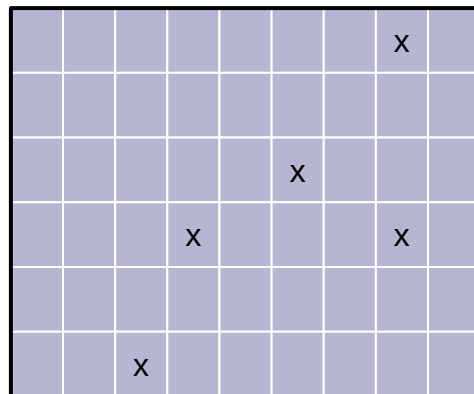
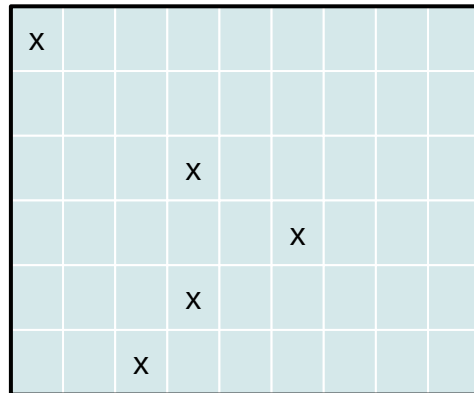


Uniform

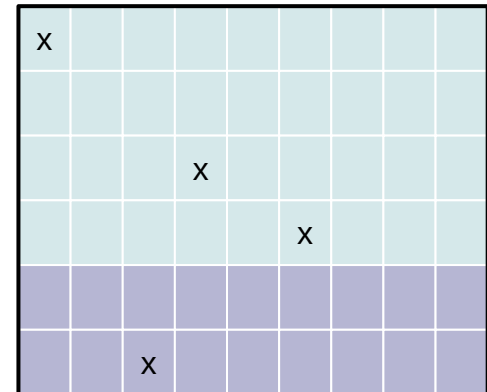


Free variables are marked with "x"

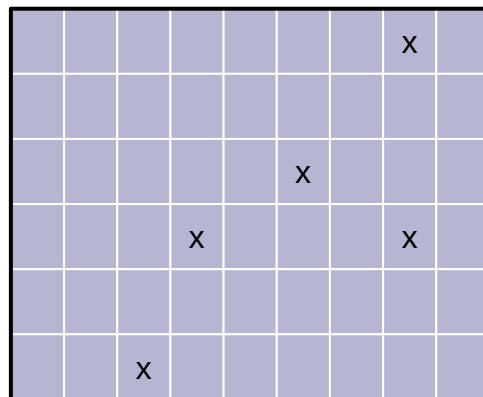
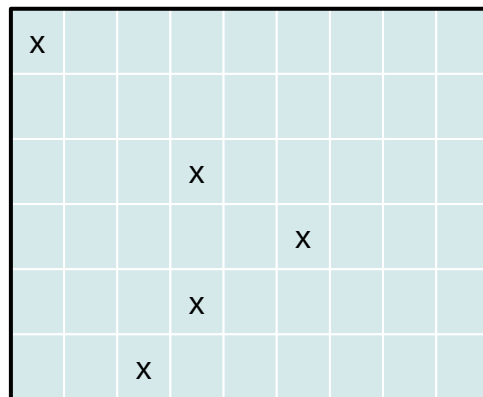
Crossover



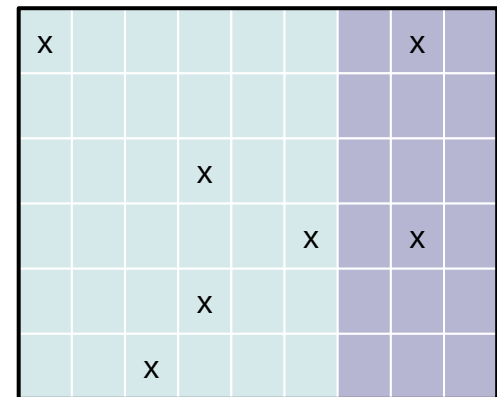
1 ponto linha



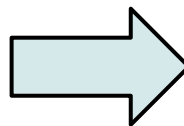
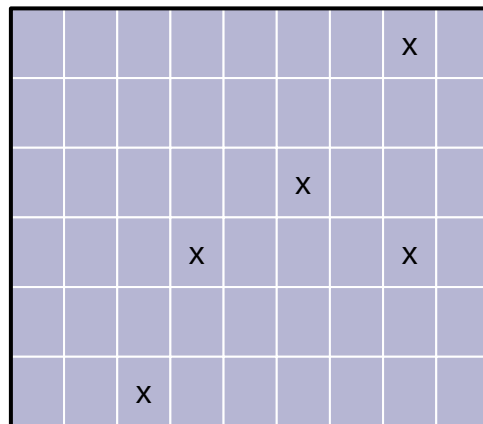
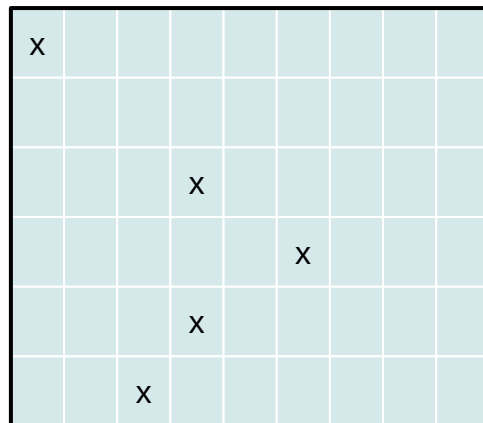
Crossover



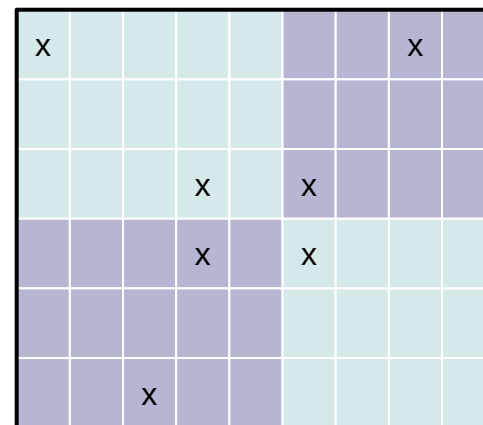
1 ponto coluna



Crossover

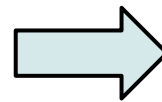


Seções



Mutação

	T ₁	T ₂	T ₃	T ₄	T ₅	T ₆	T ₇	T ₈	T ₉
F ₁	[1]	0	1	0	0	1	0	1	0
F ₂	1	0	1	0	1	0	1	0	0
F ₃	1	1	0	[0]	0	0	0	0	1
F ₄	1	0	0	1	0	[0]	1	0	0
F ₅	1	0	0	[1]	1	1	0	0	1
F ₆	1	0	[0]	1	0	0	0	0	1

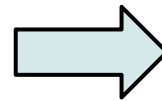


Inversão

	T ₁	T ₂	T ₃	T ₄	T ₅	T ₆	T ₇	T ₈	T ₉
F ₁	[1]	0	1	0	0	1	0	1	0
F ₂	1	0	0	0	1	0	1	0	0
F ₃	1	1	0	[0]	0	0	0	0	1
F ₄	1	0	0	1	0	[0]	1	0	0
F ₅	1	0	0	[1]	1	1	0	0	1
F ₆	1	0	[0]	1	0	0	0	0	1

Mutação

	T ₁	T ₂	T ₃	T ₄	T ₅	T ₆	T ₇	T ₈	T ₉
F ₁	[1]	0	1	0	0	1	0	1	0
F ₂	1	0	1	0	1	0	1	0	0
F ₃	1	1	0	[0]	0	0	0	0	1
F ₄	1	0	0	1	0	[0]	1	0	0
F ₅	1	0	0	[1]	1	1	0	0	1
F ₆	1	0	[0]	1	0	0	0	0	1

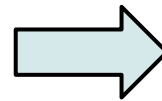


Troca na Coluna

	T ₁	T ₂	T ₃	T ₄	T ₅	T ₆	T ₇	T ₈	T ₉
F ₁	[1]	0	1	0	0	0	0	1	0
F ₂	1	0	1	0	1	0	1	0	0
F ₃	1	1	0	[0]	0	0	0	0	1
F ₄	1	0	0	1	0	[1]	1	0	0
F ₅	1	0	0	[1]	1	1	0	0	1
F ₆	1	0	[0]	1	0	0	0	0	1

Mutação

	T ₁	T ₂	T ₃	T ₄	T ₅	T ₆	T ₇	T ₈	T ₉
F ₁	[1]	0	1	0	0	1	0	1	0
F ₂	1	0	1	0	1	0	1	0	0
F ₃	1	1	0	[0]	0	0	0	0	1
F ₄	1	0	0	1	0	[0]	1	0	0
F ₅	1	0	0	[1]	1	1	0	0	1
F ₆	1	0	[0]	1	0	0	0	0	1



Troca na linha

	T ₁	T ₂	T ₃	T ₄	T ₅	T ₆	T ₇	T ₈	T ₉
F ₁	[1]	0	1	0	0	1	0	1	0
F ₂	1	0	1	0	1	0	1	0	0
F ₃	1	1	0	[0]	0	0	0	0	1
F ₄	1	1	0	1	0	[0]	0	0	0
F ₅	1	0	0	[1]	1	1	0	0	1
F ₆	1	0	[0]	1	0	0	0	0	1

Outras Representações e seus Operadores



Computers & Operations Research

Volume 48, August 2014, Pages 40–52



A genetic algorithm/mathematical programming approach to solve a two-level soft drink production problem

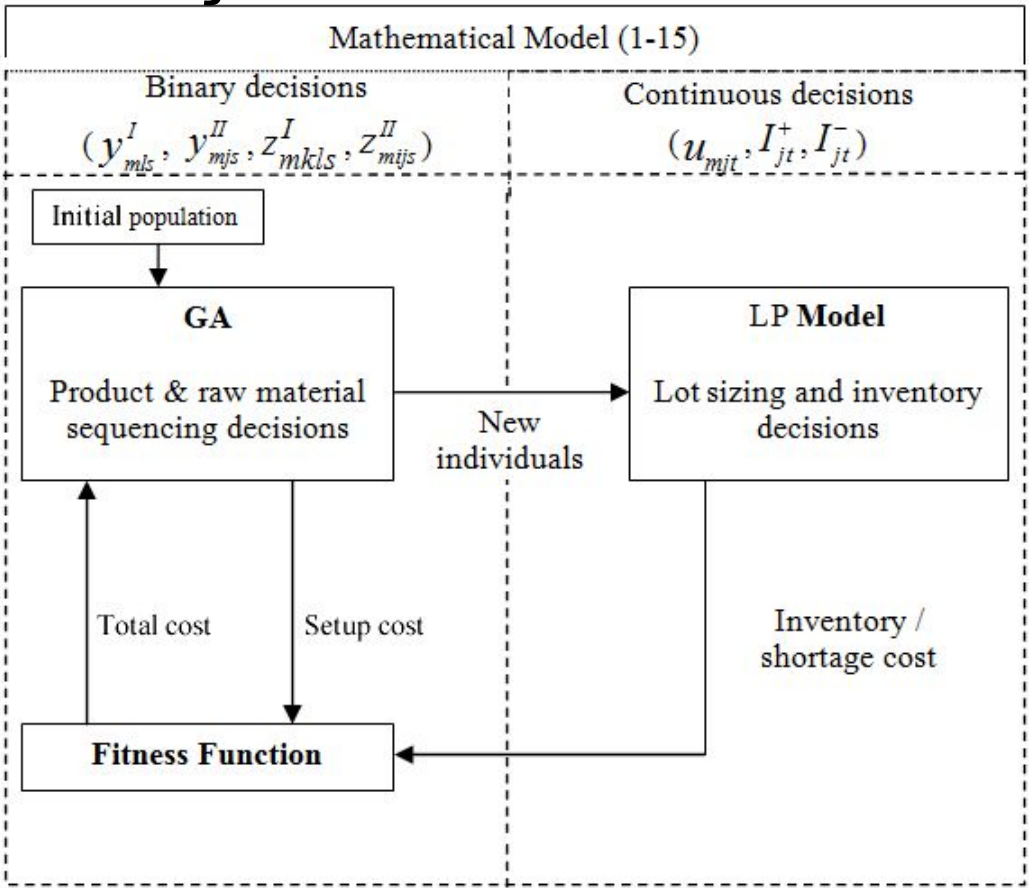
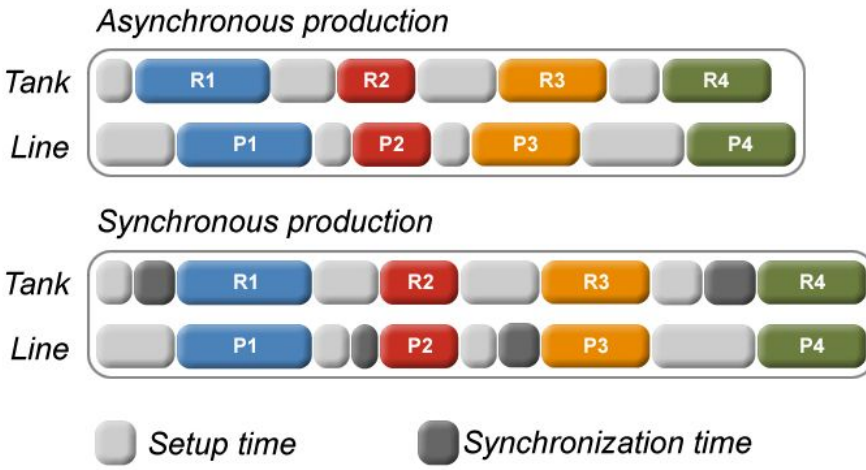
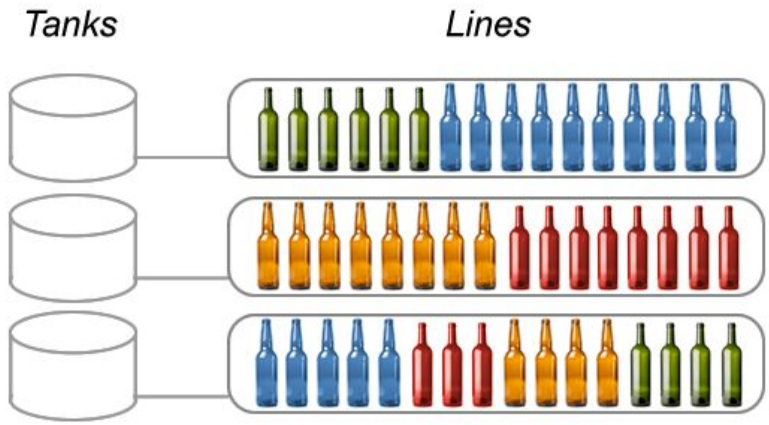
Claudio Fabiano Motta Toledo^a,  , Lucas de Oliveira^b,  , Rodrigo de Freitas Pereira^a,  , Paulo Morelato França^c,  , Reinaldo Morabito^d,  

 [Show more](#)

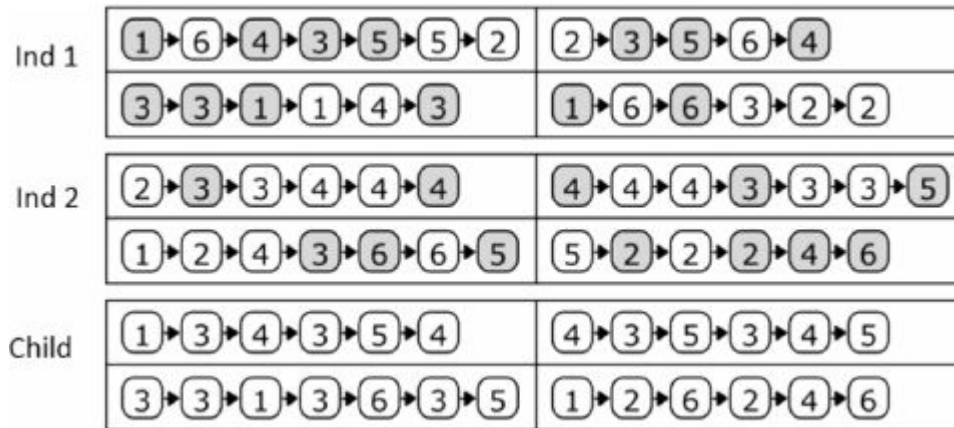
<https://doi.org/10.1016/j.cor.2014.02.012>

[Get rights and content](#)

Problema Industrial e Solução Híbrida



Codificação, Decodificação e Fitness



```
evaluateFitness(Individual)  
begin  
  
//Decoding procedure  
totalSetupCosts = calculateSetupCosts(Individual).  
updatedParameters(Individual,  $ns_{mjt}$ ,  $W_{mt}$ ).  
//LP Model is solved using Cplex  
totalInventoryPlusShortageCosts = solveLPModel( $ns_{mjt}$ ,  $W_{mt}$ )  
fitnessValue = totalSetupCosts + totalInventoryPlusShortageCosts  
  
return fitnessValue.  
end
```

Codificação, Decodificação e Fitness

Calculado solucionando
modelo PL

Minimize

$$\sum_{j=1}^J \sum_{t=1}^T (h_j I_{jt}^+ + g_j I_{jt}^-) + \sum_{s=1}^N \sum_{m=1}^M \sum_{k \in \beta_m} \sum_{l \in \beta_m} s_{kl}^I z_{mkls}^I$$
$$+ \sum_{s=1}^N \sum_{m=1}^M \sum_{i \in \alpha_m} \sum_{j \in \alpha_m} s_{ij}^{II} z_{mijs}^{II}$$

Crossover e Mutação

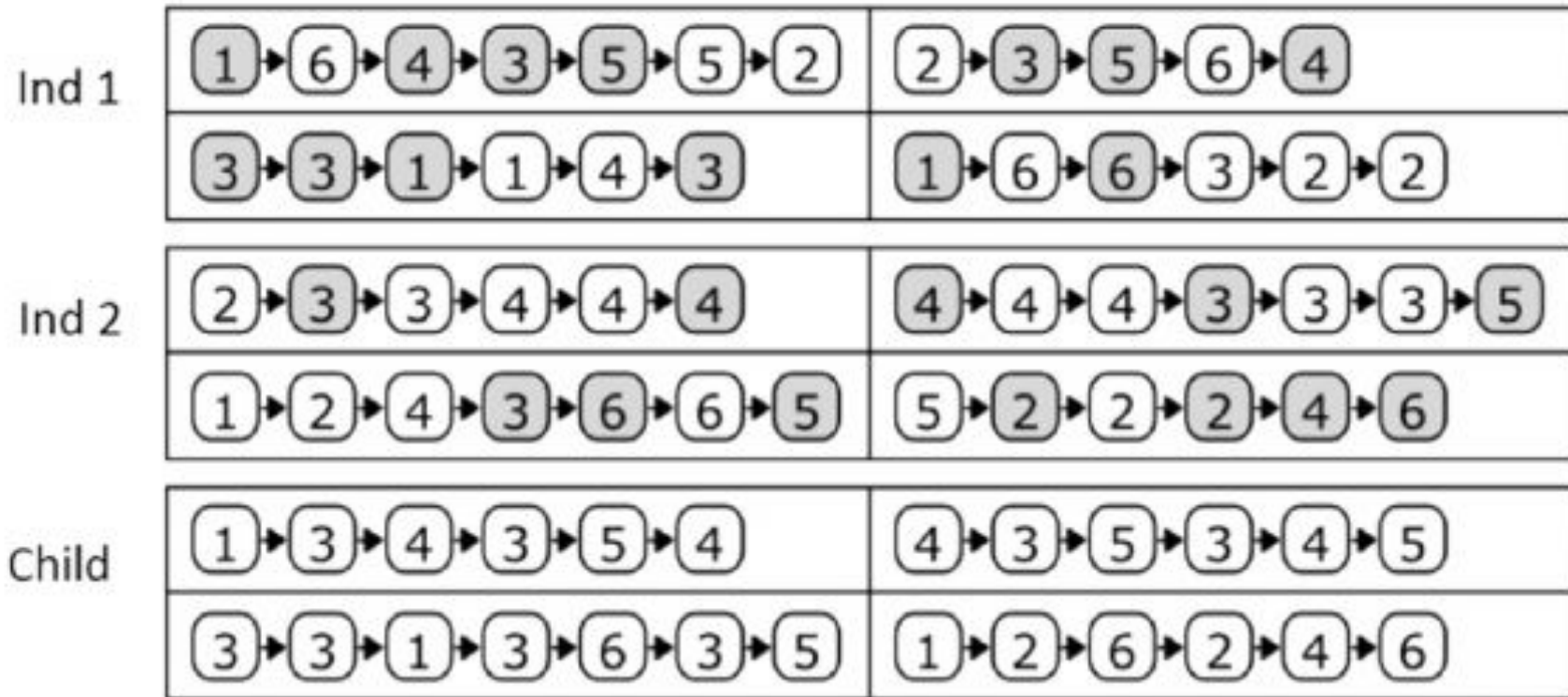


Fig. 8. Uniform crossover operator.

Outras Representações e seus Operadores

International Journal on Artificial Intelligence Tools

[< Previous Article](#)

Volume 26, Issue 01, February 2017

[Next Article >](#)

[Add to Favorites](#) | [Download to Citation Manager](#) | [Citation Alert](#)

[PDF \(2,454 KB\)](#) | [PDF Plus \(1,583 KB\)](#)

Jesimar da Silva Arantes et al, *Int. J. Artif. Intell. Tools* **26**, 1760008 (2017) [30 pages]
<https://doi.org/10.1142/S0218213017600089>

Heuristic and Genetic Algorithm Approaches for UAV Path Planning under Critical Situation

Jesimar da Silva Arantes¹

Márcio da Silva Arantes¹

Claudio Fabiano Motta Toledo^{1,†}

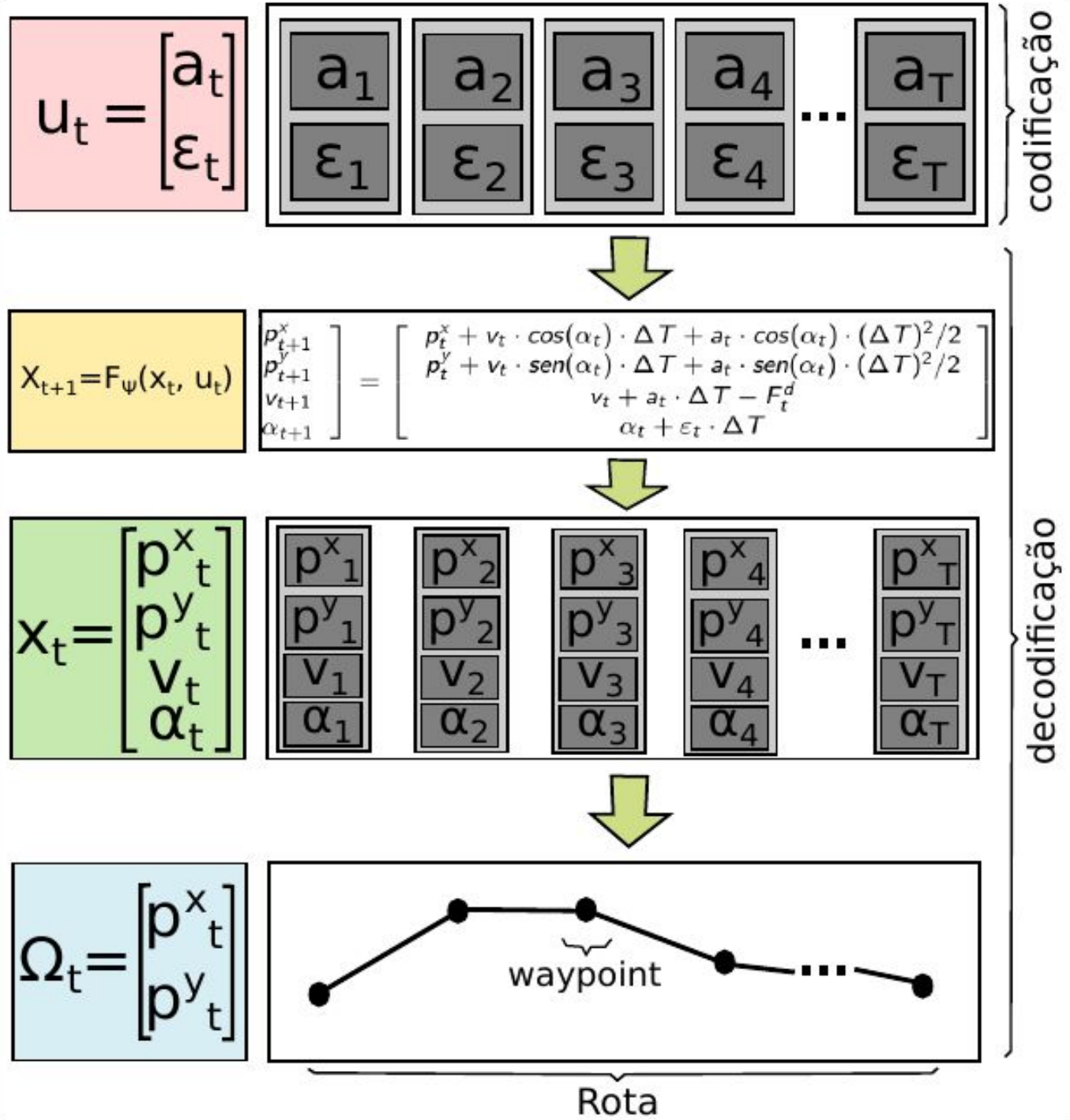
Onofre Trindade Júnior¹

Brian Charles Williams²

¹University of São Paulo, USP, São Carlos, São Paulo, Brazil

²Massachusetts Institute of Technology, MIT, Cambridge, USA

Codificação e Decodificação



Operadores

- Crossovers:
 - Média aritmética
 - Média geométrica
 - BLX- α were applied.
- Mutação:
 - Uniforme
 - Limite
 - Creep

Fitness

$$\begin{aligned} \text{fitness} = & f_{\text{Landing}_{\phi_b}} + f_{\text{Landing}_{\phi_p}} + f_{\text{Flight}_{\phi_n}} \\ & + f_{\text{Curves}} + f_{\text{DistUAV}_{\phi_b}} + f_{\text{Violated}_T} + f_{\psi_b} \end{aligned}$$

$$f_{\text{Landing}_{\phi_b}} = -C_{\phi_b} \cdot \sum_{i=1}^{|\phi_b|} (P(x_K \in Z_{\phi_b}^i))$$

Pouso em região bonificadora

$$f_{\text{Landing}_{\phi_p}} = C_{\phi_p} \cdot \sum_{i=1}^{|\phi_p|} (P(x_K \in Z_{\phi_p}^i))$$

Pouso em região penalizadora

Fitness

Pouso em região NFZ

$$f_{Flight_{\phi_n}} = C_{\phi_n} \cdot \max(0, 1 - \Delta - P \left(\bigwedge_{t=0}^K \bigwedge_{i=1}^{|\phi_n|} x_t \notin Z_{\phi_n}^i \right))$$

$$f_{Curves} = \frac{1}{|\varepsilon_{max}|} \cdot \sum_{t=0}^K \|u_t\| \cdot |\varepsilon_t| \quad \text{Curvas abruptas}$$

$$f_{DistUAV_{\phi_b}} = \text{shortestDist}(\bar{x}_K, Z_{\phi_b}) \quad \text{Distâncias longas}$$

Fitness

$$f_{Violated_T} = \begin{cases} C_{\phi_b} & , v_K - v_{min} > 0 \\ 0 & , \text{otherwise} \end{cases}$$

Alcança região bonifcadora sem pousar

$$f_{\psi} = \begin{cases} C_{\phi_b} \cdot 2^{\frac{(K-T)}{10}} & , \psi = \psi_b \\ 0 & , \text{otherwise} \end{cases}$$

Privilegia rotas com reduzido número de waypoints (falhas na bateria)

Outras Representações e seus Operadores

This article has been accepted for publication in a future issue of this journal, but has not been fully edited. Content may change prior to final publication. Citation information: DOI 10.1109/TCIAIG.2017.2766218, IEEE Transactions on Computational Intelligence and AI in Games

IEEE TRANSACTIONS ON COMPUTATIONAL INTELLIGENCE AND AI IN GAMES, VOL. 14, NO. 8, JULY 2016

1

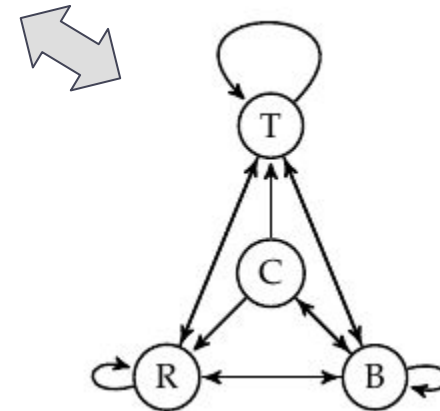
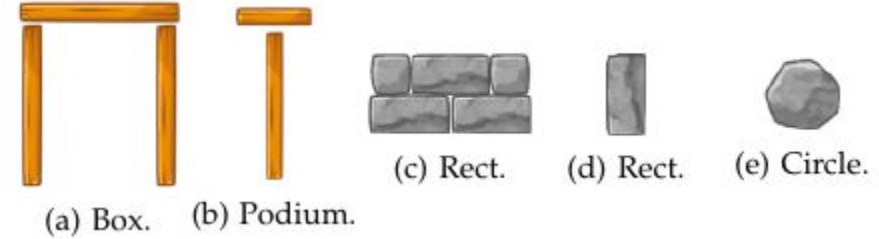
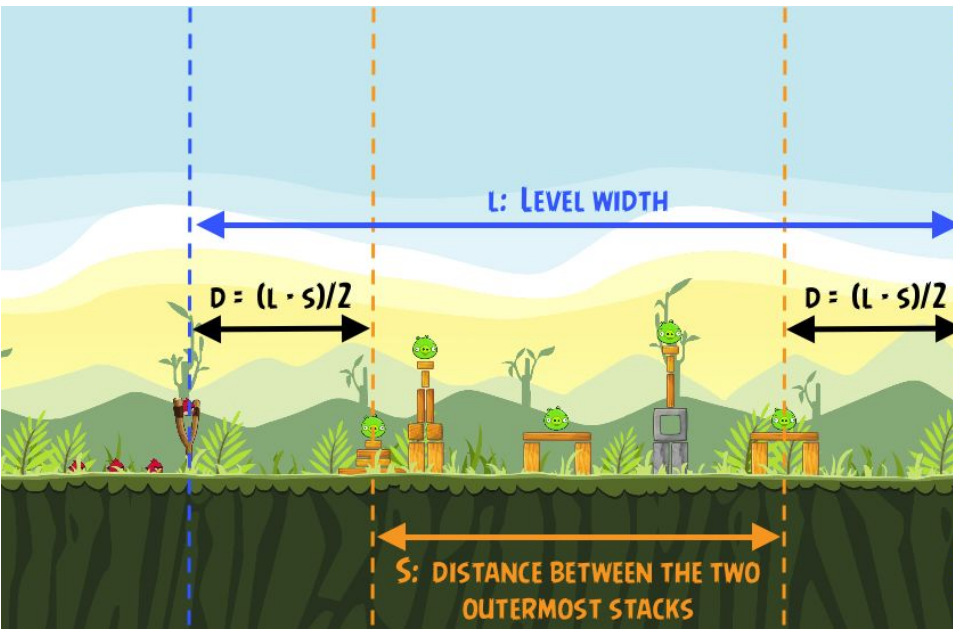
Tanager: A Generator of Feasible and Engaging Levels for Angry Birds

Lucas N. Ferreira and Claudio Fabiano Motta Toledo



Codificação e Decodificação

		31 0				31 0		
	31 0	13 0				13 0		
	13 0	28 0				28 0		
	12 0	29 1				29 0		
	13 1	10 1		31 0		15 0		31 0
4	11 0	24 1	-1	18 0	-1	25 1	-1	18 0
birds	stack 1	stack 2	stack 3	stack 4	stack 5	stack 6	stack 7	stack 8



Crossover

Parent 1

		3 0	
		31 0	
	31 0	4 0	
	11 0	4 0	
1	16 0	6 0	
birds	stack 1	stack 2	

Parent 2

		2 0	
		31 0	
	31 0	1 0	
	6 0	22 0	31 0
4	15 1	15 1	12 1
birds	stack 1	stack 2	stack 3

Child 1

		2 0	
		31 0	
	31 0	1 0	
	11 0	31 0	31 0
3	16 0	15 1	12 1
birds	stack 1	stack 2	stack 3

Child 2

		3 0	
		31 0	
	31 0	4 0	
	6 0	4 0	
2	15 1	6 0	-1
birds	stack 1	stack 2	stack 3

Mutação

Child 1

5	31 0 11 0 16 0	31 0	31 0 12 1
birds	stack 1	stack 2	stack 3

Child 2

		3 0 31 0	31 0
	31 0 6 0	4 0 4 0	1 0 19 0
2	15 1	6 0	19 0
birds	stack 1	stack 2	stack 3

Fitness

$$fitness(x) = |[b_n * B] - B_u| + |[l_n * L] - L_b| + p_f + s$$

- B : quantidade máxima de pássaros definida pelo game designer.
- B_u : quantidade de pássaros utilizada durante simulação.
- $0 \leq b_n \leq 1$: valor definido pelo AE.
- L : quantidade máxima de blocos definida pelo game designer.
- L_b : quantidade de blocos no início da simulação.
- p_f : número de porcos ao final da simulação.
- s : estabilidade dos blocos.

Outras Representações e seus Operadores



Applied Soft Computing

Volume 46, September 2016, Pages 778–791



An approach based on hybrid genetic algorithm applied to image denoising problem

Jonatas Lopes de Paiva^a, , Claudio F.M. Toledo^a, , , Helio Pedrini^b, 

 [Show more](#)

<https://doi.org/10.1016/j.asoc.2015.09.013>

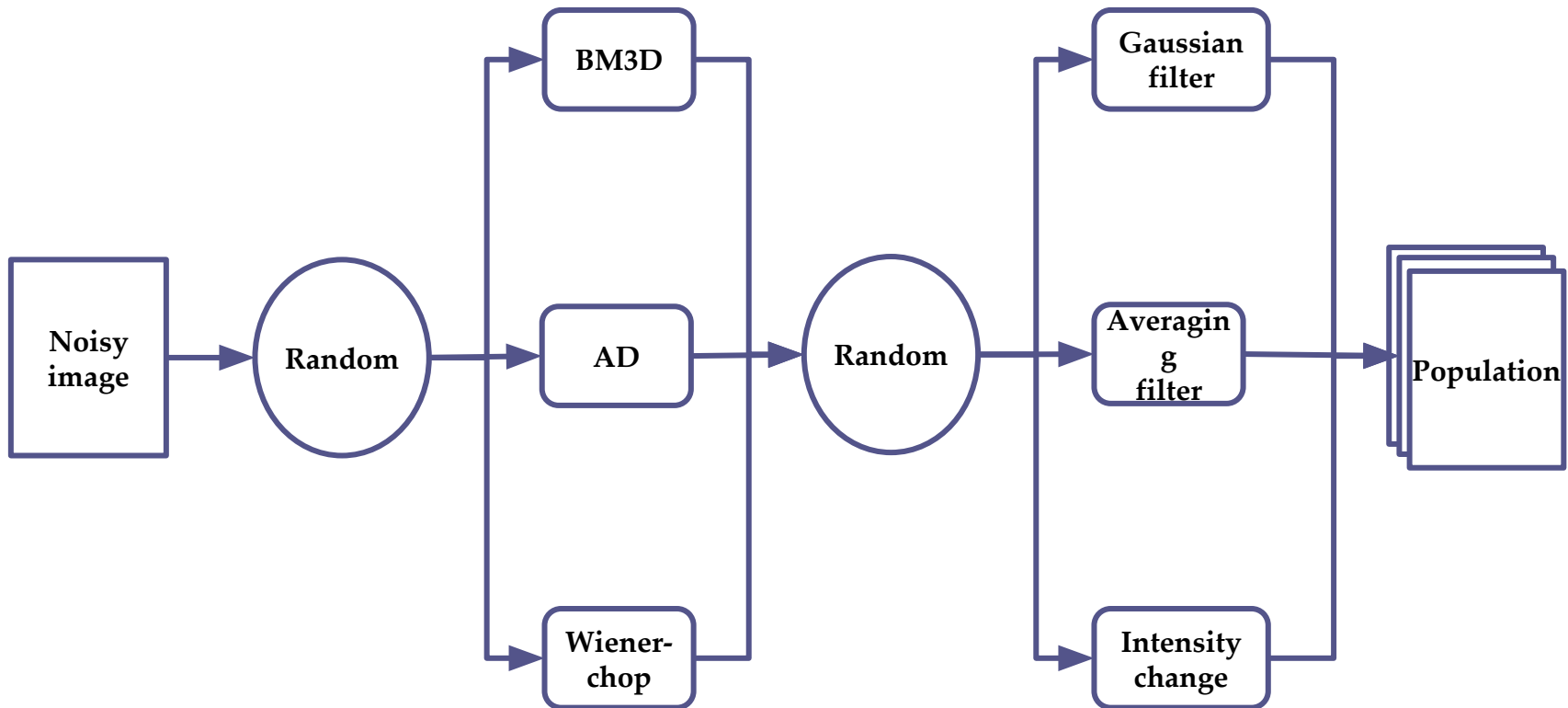
[Get rights and content](#)

Codificação

238	225	214
240	233	228
234	239	255



Inicialização

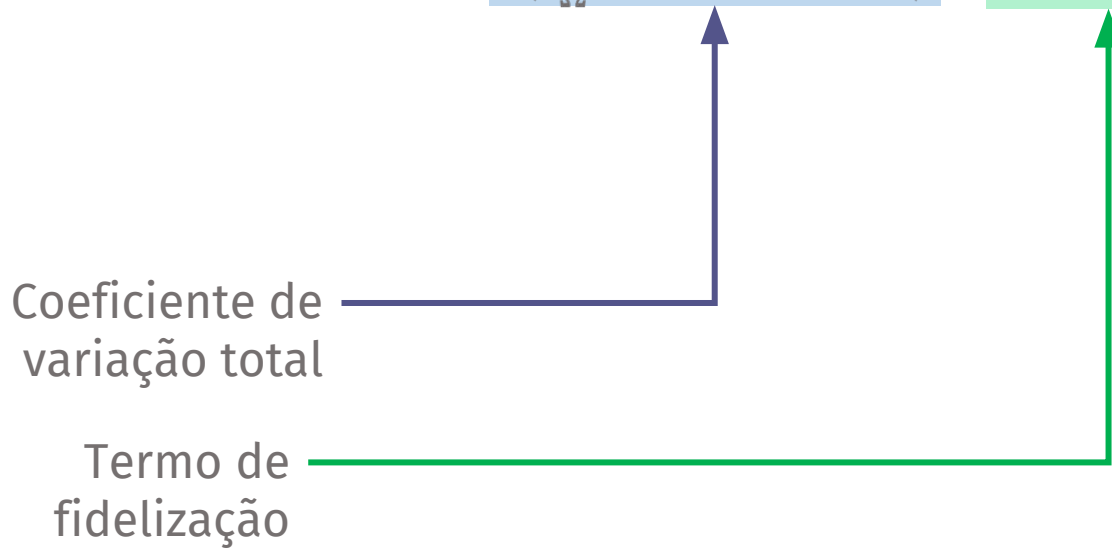


Fitness

$$fitness(I) = \left(\sum_{\Omega} \sqrt{1 + \beta^2 |\nabla I|^2} \right) + \frac{\lambda}{2} (I - I_0)^2$$

Coeficiente de
variação total

Termo de
fidelização



Crossover



Parent 1



Parent 2



One-point row



One-point column

Crossover

238	225	214
240	233	228
234	239	255

Parent 1



250	214	222
241	229	248
199	216	212

Parent 2

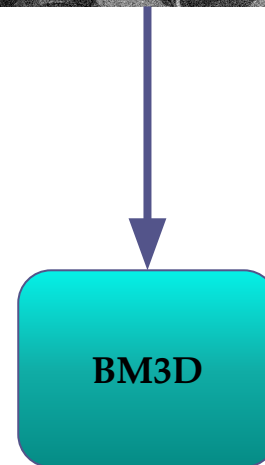
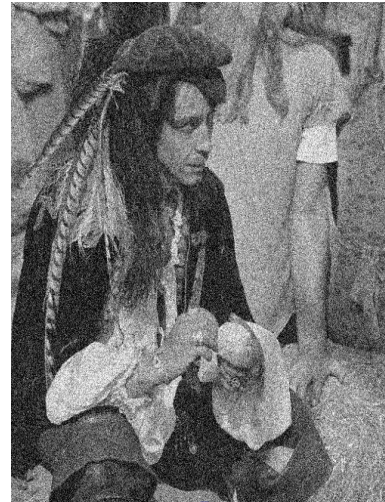


238	214	214
241	229	228
234	239	212

Child

Mutação

- Um entre três métodos de recuperação de ruídos é escolhido aleatoriamente cada vez que o operador de mutação é aplicado
 - *AD*
 - *Wiener-chop*
 - *BM3D*



Seleção

- **Torneio**

- Proposto por Goldberg e Deb em Goldberg and Deb (1991).
- Seleciona aleatoriamente um número fixo de indivíduos Q e o melhor entre esses indivíduos é escolhido para cruzamento.

- **Truncamento**

- Truncamento foi proposto por Mühlenbein e Schlierkamp-Voose em Mühlenbein and Schlierkamp-Voosen (1993).
- Um número $M \geq N$ de indivíduos é gerado e os melhores N indivíduos são selecionados para formar a próxima população.

Seleção - Torneio

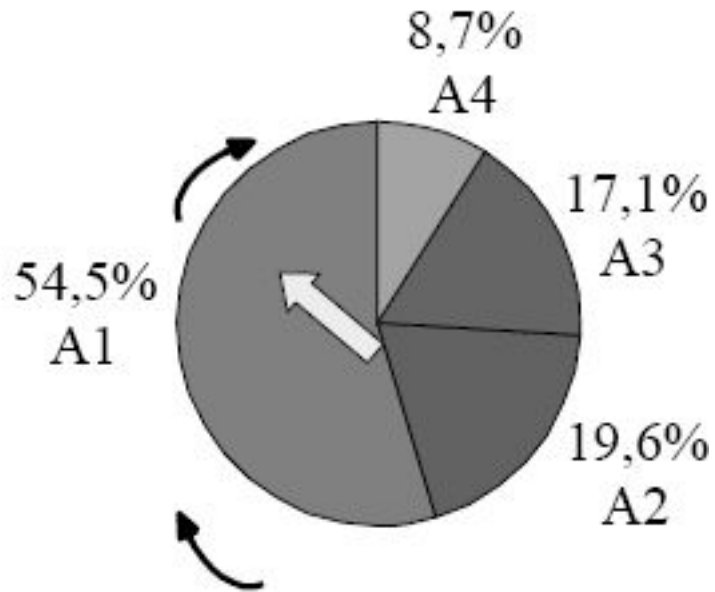
disputa	indivíduo	cromossomo	<i>fitness</i>	vencedor
1	1	110111	5	1
	4	011001	3	
2	6	010100	2	8
	8	111011	5	
3	9	101101	4	9
	11	010001	2	
4	13	111000	3	13
	15	000001	1	

Seleção - Torneio

- Exemplo de Algoritmo para Torneio usando Mating-Pool
 1. indAtual=i=1
 2. Enquanto (indAtual $\leq\mu$) faça
 - a. Selecione k indivíduos aleatoriamente, com ou sem repetições
 - b. Selecione o indivíduo com melhor valor de fitness
 - c. i recebe o índice do melhor indivíduo selecionado
 - d. mating-pool[indAtual]=parents[i]
 - e. indAtual = indAtual + 1
 3. fimEnquanto

Seleção - Roleta

- Mais chance para os mais aptos



- Problemas com valores negativos

$$f_i = 2(N - i)/(N - 1)$$

Seleção -Roleta

- Exemplo de Algoritmo para Roleta usando Mating-Pool

indAtual=1

total= $\sum_{i=1}^{\mu} f(i)$

Enquanto (indAtual \leq μ) **faça**

 i=1

 subTotal = 0

 selecione $r \in [0, \text{total}]$

Enquanto (subTotal < r) **faça**

 i=1

 subTotal = subTotal + f(i);

fimEnquanto

 matingPool[indAtual] = parents[i];

 ind_atual = indAtual +1;

fimEnquanto

Seleção- Roleta

Algoritmo 2

indAtual=1

Para todo $i=1$ até μ **faça**

$$\alpha[i] = \sum_{j=1}^i P_{sel}(j)$$

Enquanto ($\text{indAtual} \leq \mu$) **faça**

selecione $r \in [0,1]$

$i=1$

Enquanto ($\alpha[i] < r$) **faça**

$i = i+1;$

fimEnquanto

matingPool[indAtual] = parents[i];

ind_atual = indAtual +1;

fimEnquanto

Universal Sampling Algorithm

Para todo $i=1$ até μ **faça**

$$\alpha[i] = \sum_{j=1}^i P_{sel}(j)$$

indAtual=i=1

selecione $r \in [0, 1/\mu]$

Enquanto (indAtual $\leq \mu$) **faça**

Enquanto ($r < \alpha[i]$) **faça**

 matingPool[indAtual] = parents[i];

$r = r + 1/\mu$

 indAtual = indAtual + 1

fimEnquanto

$i = i + 1$;

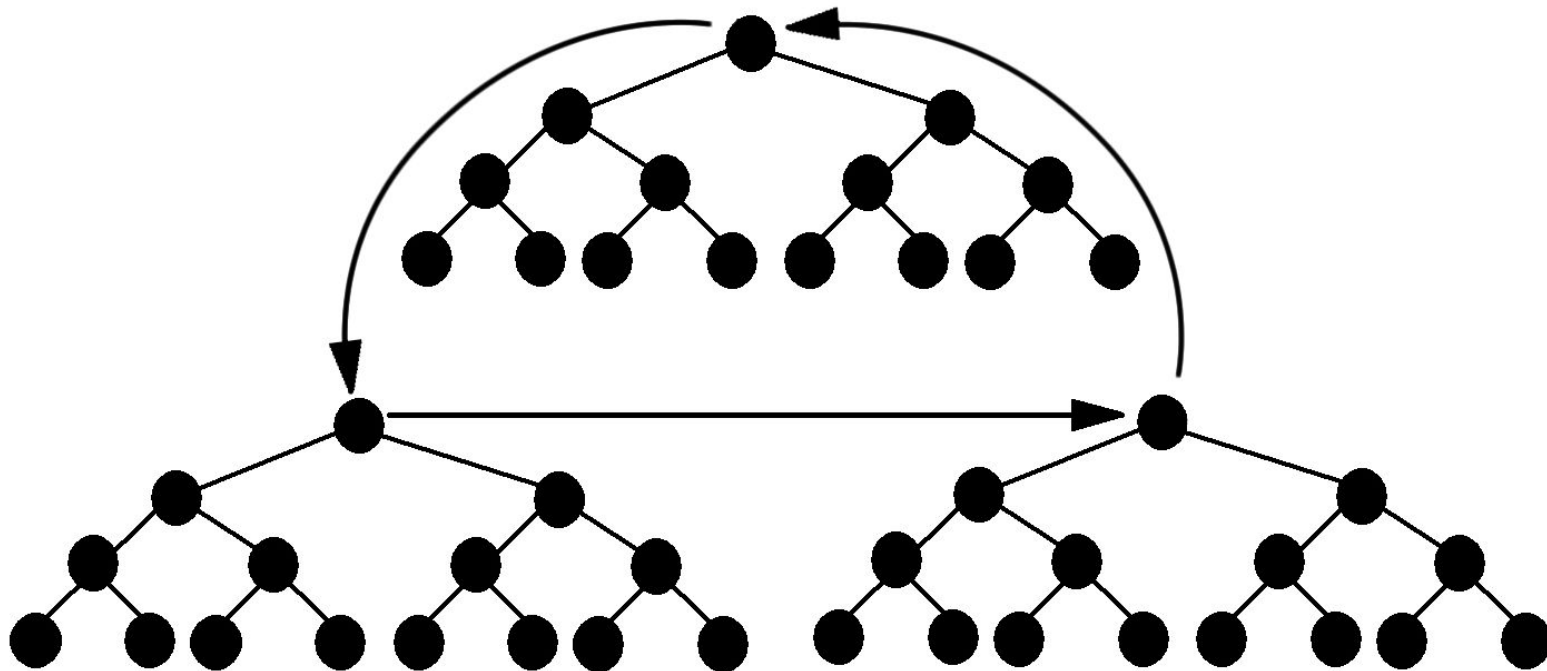
fimEnquanto

Outros Operadores

- Migração
- Difusão
- Modelo farmer/worker

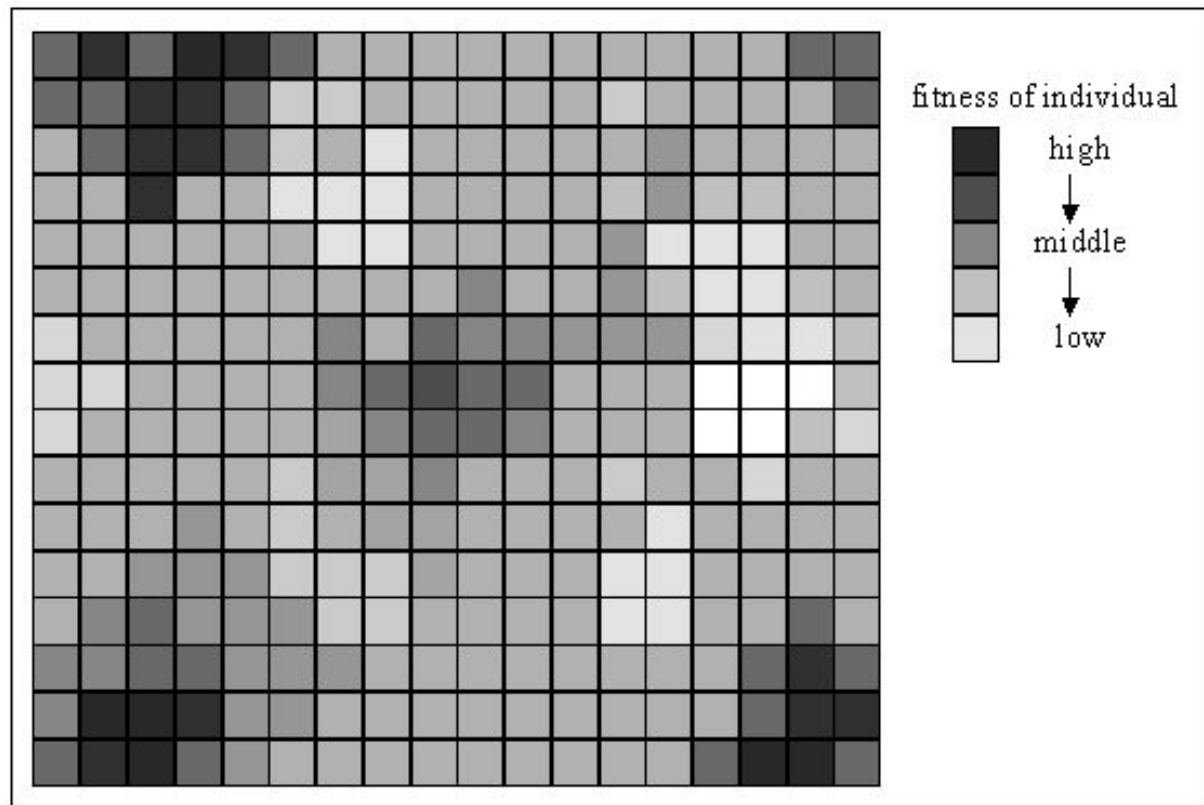
Outros Operadores

- Migração



Outros Operadores

- Modelo de Difusão



Outros Operadores

- Modelo worker/farmer

